



IRANIAN SOCIETY of  
CRYSTALLOGRAPHY  
and MINERALOGY

Vol. 13, No. 1, 1384/2005 Spring & Summer

IRANIAN JOURNAL of  
CRYSTALLOGRAPHY  
and MINERALOGY

## F and Cl in biotites from Zahedan granitic rocks

M. Boomeri, G. R. lashkaripour, M. N. Gorgij

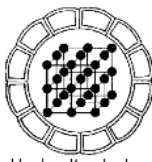
Department of geology, Sistan and Baluchestan University, Zahedan, Iran  
E-mail:Boomeri@hamoon.usb.ac.ir

(Received: 19/4/2004, received in revised form: 26/1/2005)

**Abstract:** The Late-Eocene, Early-Oligocene Zahedan granitic rocks are intruded the felysch zone of the east Iran. They are mainly granodiorite, I-type and calc-alkaline. F and Cl contents in biotite from the Zahedan granitic rocks range from 0. 1 to 0.66 and 0.01 to 0.09 wt. %, respectively. F contents in the biotites are negatively correlated with  $X_{Ti}$  and Cl contents and positively are correlated with  $X_{Si}$  and  $Mg/(Mg + Fe)$ . Values of the calculated  $\log(fH_2O/fHF)$  and  $\log(fH_2O/fHCl)$  of fluid in equilibrium with the chemical composition of biotite range from 3.98 to 4.90 and 1.41 to 2.63, respectively. The contour lines representing these values are different with slope of trend of biotite composition suggesting, the fluid composition also play some role in incorporation of F in biotite in addition to the chemical structure of biotite. IV (F) for biotites in the Zahedan granitic rocks is similar to those of igneous rocks and porphyry Cu ore deposits and IV (Cl) of biotites in the Zahedan granitic rocks is similar to those of hydrothermal and ore forming systems and those of granitic rocks. Based on the IV (Cl), biotites from the Zahedan granitic rocks tend to be more Cl rich than comparable values from biotites in other granitic rocks and less Cl rich than those of porphyry Cu ore deposits. Calculated IV (F/Cl) of biotites from the Zahedan granitic rocks is more similar to ore-forming systems such as porphyry Cu ore deposits. Therefore, the chemical composition of biotites from the Zahedan granitic rocks was interacted with hydrothermal solutions.

**Keywords:** Zahedan granite, Biotite, F and Cl,  $fH_2O/fHF$ ,  $fH_2O/fHCl$ , IV(F), IV(Cl).





## F و Cl در بیوتیت‌های موجود در سنگ‌های گرانیتی زاهدان

محمد بومری، غلامرضا لشکری پور، محمدنبی گرگیج

زاهدان، دانشگاه سیستان و بلوچستان، گروه زمین‌شناسی

پست الکترونیکی: [Boomeri@hamoon.usb.ac.ir](mailto:Boomeri@hamoon.usb.ac.ir)

(دريافت مقاله ۸۳/۱/۳۰، دريافت نسخه نهايی ۸۳/۱۱/۶)

**چکیده:** سنگ‌های گرانیتی زاهدان که طی ائوسن پسین-الیگوسن پیشین در زون فلیش شرق ایران نفوذ کردند و اغلب گرانودیوریت، نوع I و کالک آلکالن هستند. مقدار F و Cl در بیوتیت موجود در سنگ‌های گرانیتی زاهدان به ترتیب از حدود ۰/۰۶۶ تا ۰/۰۱ و از ۰/۰۹ تا ۰/۰۱ درصد وزنی تغییر می‌کند. اتم‌های فلور و فرمول بیوتیت همبستگی منفی با  $X_{Ti}$  و Cl همبستگی مشبّتی را با  $X_{Si}$  و Mg(Mg + Fe) نشان می‌دهند. مقادیر محاسبه شده  $\log(fH_2O/fHF)$  از  $\log(fH_2O/fHCl)$  از ۰/۹۸ تا ۰/۴۹ و ۰/۴۱ تا ۰/۶۳ متغیر است. خطوط هم مقدار نشان می‌دهند که این مقادیر با روند حاصل از ترکیب شیمیایی بیوتیت متفاوت است. این موضوع بیانگر آن است که علاوه بر ساختار شیمیایی بیوتیت، ترکیب شیمیایی آبگون در تعادل با آن نیز در جایگزینی فلور و کلر در بیوتیت نقش مهمی داشته است. (IV(F) بیوتیت در سنگ‌های گرانیتی زاهدان مشابه بیوتیت‌های ماقمایی و سیستم‌های پرفیری است، اما IV(Cl) آنها بیشتر به بیوتیت موجود در سیستم‌های گرمابی، کانسارساز و سنگ‌های گرانیتی شباخت دارد. بر اساس IV(Cl)، بیوتیت در سنگ‌های گرانیتی زاهدان نسبت به بیوتیت در سیستم‌های پرفیری از کلر فقیرتر و نسبت به بیوتیت ماقمایی از کلر غنی‌ترند. (IV(F/Cl) محاسبه شده بیوتیت در سنگ‌های گرانیتی زاهدان بیشتر با بیوتیت در سیستم‌های کانسارساز، مثل سیستم‌های مس پرفیری، مشابه است. بنابراین ترکیب شیمیایی بیوتیت سنگ‌های گرانیتی زاهدان حاکی از واکنش آنها با یک محلول گرمابی است.

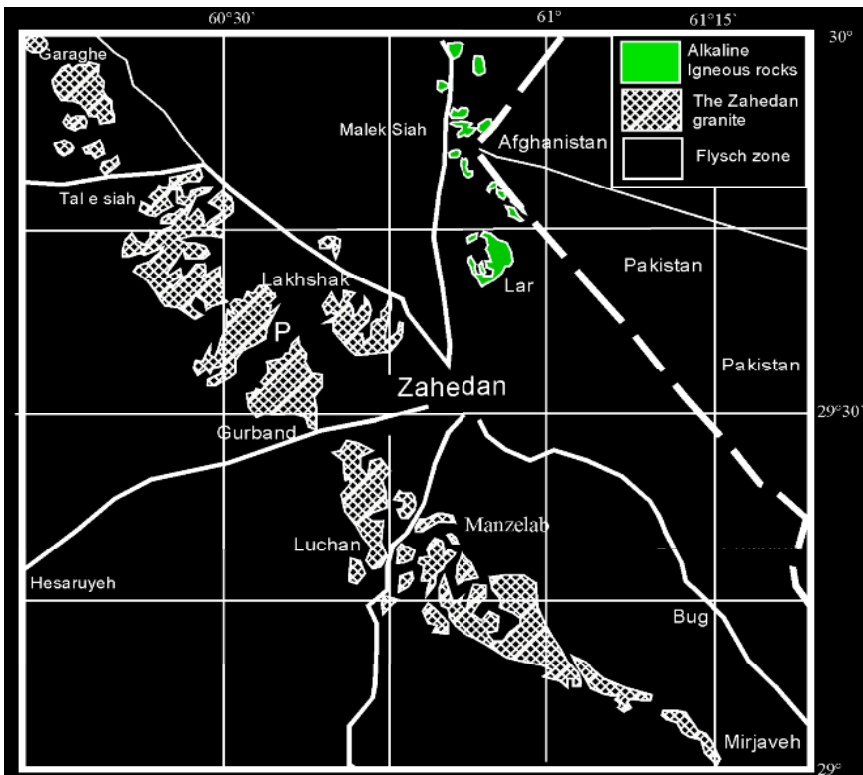
**واژه‌های کلیدی:** گرانیت زاهدان، بیوتیت، فلور و کلر،  $fH_2O/fHCl$ ،  $fH_2O/fHF$ ، IV(F)، IV(Cl)

### مقدمه

F و Cl در ماقماها و آبگونهای گرمابی در دگرسانی گرمابی، انتقال عناصر به ویژه به صورت کمپلکس، و تشکیل کانه‌های معدنی بسیار موثرند [۱ و ۲]. بیوتیت در گرانیت‌هایی که فاقد مسکوویت و فلوریت هستند حدود ۷۰ تا ۹۰ درصد F و Cl را در بر می‌گیرد [۱]. بنابراین F و Cl در بیوتیت نشان دهندهٔ رفتار آنها در سنگ‌های گرانیتی است [۱]. در این مطالعه بیوتیت‌هایی که در سنگ‌های گرانیتی مستقیماً از ماقما تشکیل شده و تحت تأثیری عوامل ثانوی قرار نگرفته‌اند بیوتیت ماقمایی خوانده می‌شوند. براساس مقدار F و Cl موجود در بیوتیت‌ها می‌توان گرانیت‌ها را تقسیم‌بندی و گرانیت‌های عقیم را از گرانیت‌های کانسارت‌ساز جدا کرد. رفتار F و Cl در بیوتیت سیستم‌های گرانیتی و سیستم‌های گرمابی مورد بررسی قرار گرفته و به طور تجربی مشخص شده که جانشینی F و Cl در محل هیدروکسیل ساختار شیمیایی میکاها به وسیله عواملی چون فعالیت F و Cl، ترکیب شیمیایی میکا، و دمای ماقما یا آبگون کنترل می‌شود [۱ و ۲]. بنابر تحقیقات انجام شده، میکاهای غنی از Mg نسبت به میکاهای فقیر از Mg (تحت شرایط یکسان) دارای F بیشتری هستند. این همبستگی Mg و F در ساختار میکاها را اصل اجتناب Fe-F avoidance principle)Fe-F اصل با بررسی مقدار F و Cl در بیوتیت‌های طبیعی در مراجع [۱ و ۳ تا ۱۶] تأیید شده است.

### زمین‌شناسی

سنگ‌های گرانیتی زاهدان در زون فلیش شرق ایران قرار دارند. این زون بیشتر از شیل، ماسه سنگ، سیلتیتون، سنگ آهک و رخنمون‌های متعددی از سنگ‌های پوسته اقیانوسی تشکیل شده است که شدیداً خرد شده و دگرگونی ضعیفی را نیز تحمل کرده‌اند. همچنین در این زون سنگ‌های آذرین کالک-آلکالن و آلکالن متنوعی در دوره‌های مختلف تشکیل شده‌اند. از جمله می‌توان به نفوذ سنگ‌های گرانیتی زاهدان در ائوسن پیشین-الیگوسن پیشین (۳۱ تا ۳۲ میلیون سال) اشاره کرد [۱۷]. این سنگ‌ها در یک زون طویل و باریک با روند شمال غرب-جنوب شرق امتداد دارند. گرانیت‌های زاهدان در منطقه لخشک توسط کمپ و گریفیس [۱۷] از نوع S و در منطقه لوچان توسط صاحب‌زاده [۱۸] از نوع I معرفی شده‌اند. ولی‌زاده و صادقیان [۱۹] این گرانیت‌ها را در هر دو منطقه بالا بررسی و به هر دو نوع S و I تقسیم‌بندی کرده‌اند. همچنین سنگ شناختی پتروگرافی و زئوشیمی سنگ‌های گرانیتی زاهدان در قالب یک طرح پژوهشی توسط [۲۰] به طور جامع مطالعه شده است. رخنمون سنگ‌های گرانیتی زاهدان در شکل ۱ نشان داده شده است.



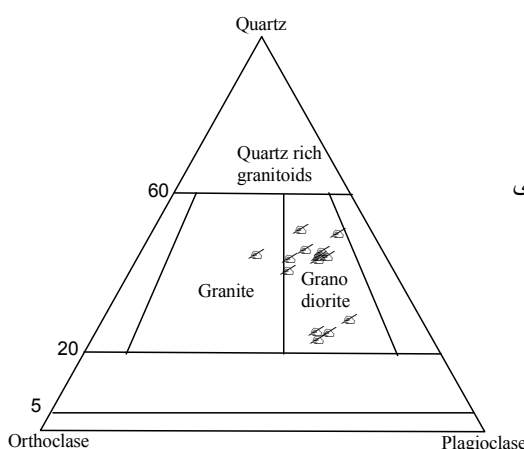
شکل ۱ موقعیت سنگ‌های گرانیتی زاهدان نسبت به شهر زاهدان. محل نمونه‌ها: LK از لخشک، ZG از گراغه، P از غرب پلیس راه زاهدان، T از تل سیاه و SSG2 از منزل آب.

#### مشاهدات صحرایی

گرانیت‌های زاهدان به اشکال مختلفی چون باتولیت - استوک و دایک‌های گرانیتی و پگماتیتی رخنمون دارند که در بعضی از مناطق، مثل منطقه لخشک غربی و لوچان، تعداد بیشماری دایک‌های موازی تیره رنگ با روند شمالی-جنوبی آنها را قطع کرده‌اند. گرانیت‌های زاهدان از نظر رنگ ماقروسکوپی نسبت به سنگ‌های میزبان خود که سنگ‌های رخساره فلیشی دگرگون شده هستند، روشن‌ترند. اندازه کانی‌های تشکیل دهنده گرانیت‌های زاهدان نسبتاً متوسط و دارای بافت تقریباً دانه‌ای هستند. انکلاوها در بسیاری از این سنگ‌ها از مقیاس ماقروسکوپی تا مقیاس میکروسکوپی متغیر بوده و خروج آنها بر اثر فرایندهای ثانویه باعث ساخت لانه زنبوری در گرانیت‌ها شده است. گرانیت‌های زاهدان شدیداً تحت تأثیر هوازدگی فیزیکی قرار گرفته و ساختهای پوست پیازی، تافونی، لانه زنبوری و غیره در اکثر آنها دیده می‌شود. جابجایی‌های دینامیکی در این گرانیت‌ها شدید بوده به طوری که در اکثر مناطق میلیونیتی شدن، جهت یافتنگی‌ها و گسل‌ها در مقیاس ماقروسکوپی و سیلیسی‌شدن با تشکیل بلورهای تقریباً شکل‌دار کوارتز، خمیدگی در بلورهای بیوتیت و کشیدگی بلورهای فلدسپاتی مشاهده می‌شود [۲۰].

### سنگ شناسی

سنگ‌های گرانیتی زاهدان عموماً از نوع گرانودیوریت (شکل ۲) و دارای بافت و کانی‌شناسی ساده‌ای هستند. بافت اصلی آنها تقریباً دانه‌ای است، و بافت‌های پرفیروئید، پرفیری، پرفیروبلاستیک، پگماتیت و آپلتی نیز در آنها مشاهده می‌شوند. رشد توازن کانی‌ها به خصوص فلدسپات و کوارتز، باعث بافت‌های خاصی چون گرافیک، گرانوفیریک، و پرتویی شده است. همه گرانیت‌های زاهدان دارای کانی‌های کوارتز، اورتوكلاز، پلاژیوکلاز و بیوپتیت هستند و در برخی از آنها آمفیبول نوع هورنبلندر نیز دیده می‌شود. اسفن، مگنتیت، زیرکن، آلانیت، و آپاتیت نیز در اکثر آنها یافت می‌شوند. علاوه بر این، کانی‌های ثانوی چون کانی‌های گروه اپیدوت، مسکوویت، کلریت، و کلسیت در بعضی آنها مشاهده شده است. تورمالین و گارنت فقط در رگه‌های پگماتیتی یافت می‌شوند [۲۰ و ۲۱]. برای شناخت بهتر سنگ‌شناسی و ژئوشیمی سنگ‌های گرانیتی زاهدان به مرجع [۲۰] مراجعه کنید.



شکل ۲ ترکیب مدل سنگ‌های گرانیتی زاهدان در نمودار اشتريکایزن [۲۶].

### ژئوشیمی

سنگ‌های گرانیتی زاهدان از نظر ترکیب شیمیایی گرانیت و گرانودیوریت بوده و متعلق به گرانیت‌تیوئیدهای سری ماگمایی کالکو‌آلکالن پتاسیم بالا و از نوع I هستند، و در صد مولی  $(\text{CaO} + \text{Na}_2\text{O} + \text{K}_2\text{O})/\text{Al}_2\text{O}_3$  آنها کمتر از ۱/۱ است [۲۰]. بعضی از مشخصات شیمیایی گرانیت‌های زاهدان در جدول ۱ ارائه شده است [۲۰]. جایگاه زمین ساختی این گرانیتها بر مبنای عناصر اصلی، فرعی و خاکی نادر مشابه گرانیت‌های تشکیل شده در جایگاه‌های زمین ساختی حاشیه قاره‌ای است [۲۰].

جدول ۱ بعضی از مشخصات شیمیایی گرانیت‌های زاهدان [۲۰]

$\text{SiO}_2$	سری اگمایی	ASI	$\text{Na}_2\text{O}/\text{CaO}$	$\text{Na}_2\text{O}/\text{K}_2\text{O}$	$\text{MgO}/\text{FeO}$
۶۷-۷۰,۱	کالک-آلکالن	۱-۱,۰۸	۱,۰۴-۱,۷۱	۰,۹۱-۱,۴۴	۰,۳۴-۰,۵۶

### روش مطالعه

در این بررسی در امتداد جاده‌های خاش، کرمان، گوربند و میر جاوه از مناطقی چون گراغه، تل سیاه، لخشک، کوههای غرب پلیس راه زاهدان-کرمان، گوربند، منزل آب، لوچان و بوگ به طول حدود ۱۵۰ کیلومتر نمونهبرداری شده است (شکل ۱). میکروآنالیزهای بیوتیت با روش WDS و با یک آبرگمانه‌زن خودکار مدل JEOL JXA-8600 در دانشگاه یاماگاتای ژاپن با ولتاژستاب دهنده ۱۵ کیلوولت و جریان پرتو<sup>-۱</sup>  $10 \times 2 \times 10^{-1}$  آمپر انجام شده است. استانداردهای استفاده شده در میکروآنالیزهای پرتو ایکس عبارتند از: آپاتیت، ولاستونیت، آلبیت، آدولاریا،  $\text{SiO}_2$ ,  $\text{TiO}_2$ ,  $\text{NaCl}$ ,  $\text{Al}_2\text{O}_3$ ,  $\text{Cr}_2\text{O}_3$ ,  $\text{Fe}_2\text{O}_3$ ,  $\text{MnO}$ ,  $\text{MgO}$ ,  $\text{CaF}_2$ , در این تجزیه‌ها حدود ۵ میکرون تنظیم شده است. داده‌ها بر اساس یک برنامه کامپیوتروی بنام ZAF تصحیح شده‌اند. میزان خطا در این تجزیه‌ها  $\pm 2\%$  است. فرمول بیوتیت برمبنای (O) ۲۲ محاسبه شده است. کلر و فلور موجب اکسیژن اضافی و در نتیجه افزایش جمع کل ترکیبات می‌شود [۲۳]. در این بررسی مقدار اضافی مذکور از طریق تقسیم وزن اتمی اکسیژن بر وزن اتمی فلور یا کلر محاسبه و سپس از جمع کل ترکیبات کاسته شد تا جمع واقعی بدست آید. مقدار آب با فرض ۴ اتم در جای هیدروکسیل با فرض عنصرستجی کامل برمبنای (O) ۲۲ محاسبه شد و مقدار آهن کل به صورت  $\text{FeO}$  نشان داده شد. X هر عنصر مساوی با تعداد اتم‌های آن در یک جایگاه خاص کانی تقسیم بر تعداد اتم‌های تمام عناصر شرکت کننده در آن جایگاه است.

### نتایج

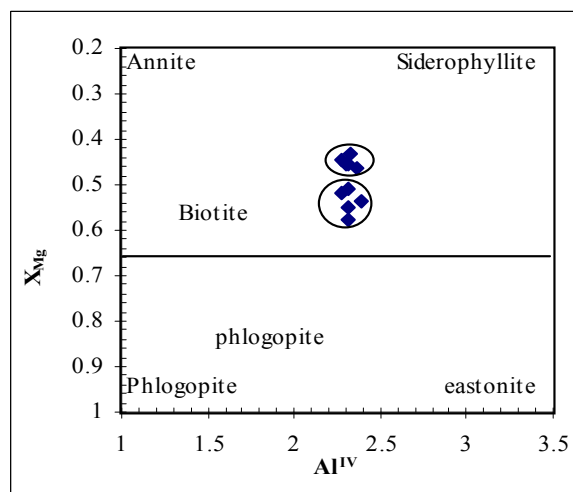
ترکیب شیمیایی بیوتیت‌های سنگ‌های گرانیتی زاهدان در جدول ۲ ارائه شده است. ترکیب شیمیایی آنها در قلمرو بیوتیت معمولی است و از نظر مقدار Mg در دو گروه متمایز قرار می‌گیرند (شکل ۳). بیوتیت‌های مورد مطالعه دارای  $\text{SiO}_2$  و  $\text{TiO}_2$  قابل قیاس با بیوتیت‌های ماقمایی معرفی شده در [۱] بوده و دارای  $\text{MnO}$  بیشتر و  $\text{Na}_2\text{O}$  کمتر از آنها هستند. مقادیر F و Cl در این بیوتیت‌ها خیلی پایین است به طوریکه مقدار F از حدود ۰/۱ تا ۰/۶ درصد وزنی و مقدار Cl از ۰/۱ تا ۰/۹ درصد وزنی متغیر است.

همبستگی اتم‌های F در فرمول بیوتیت با  $\text{Cl}/(\text{Mg} + \text{Fe})$ ,  $X_{\text{Ti}}$ ,  $X_{\text{Si}}$  و اتم‌های Mg در بیوتیت در شکل ۴ نشان داده شده است. بیوتیت‌های مورد مطالعه از نظر مقدار فلور نیز در دو گروه متمایز قرار می‌گیرند که در شکل ۴ مشخص شده‌اند. مقادیر اتم‌های فلور در فرمول بیوتیت به نظر می‌رسد که همبستگی منفی با  $X_{\text{Ti}}$  و Cl و همبستگی مثبت با  $X_{\text{Si}}$  و  $\text{Mg}/(\text{Mg} + \text{Fe})$  دارند. بر اساس مطالعات [۲۰] گرانیت‌وئید زاهدان از اختلاط یک ماقمای بازیک با یک ماقمای اسیدی تشکیل شده است و چون درجه اختلاط برای توده‌های مختلف

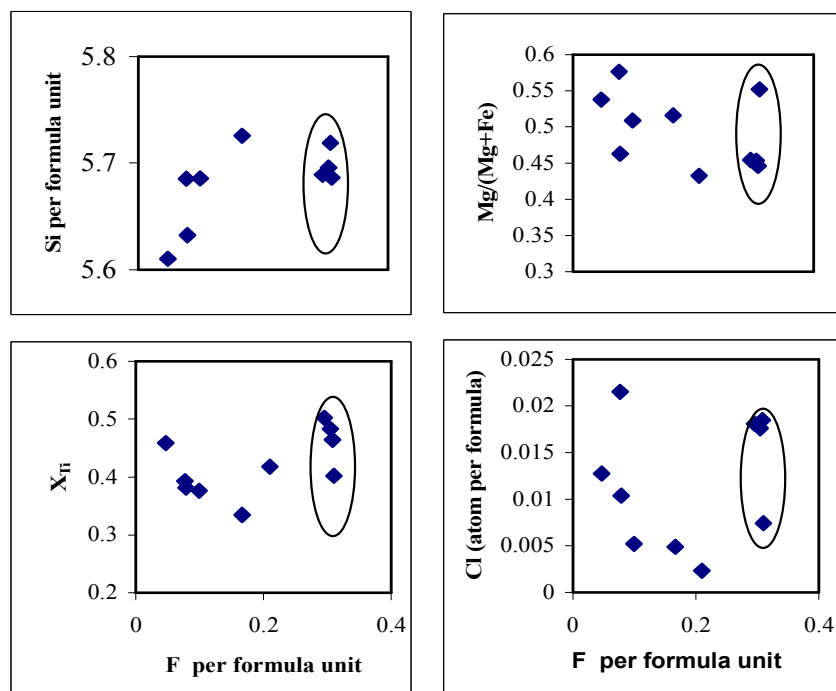
متفاوت بوده است بنابراین ترکیب شیمیایی آنها نیز متنوع است. یکی از دلایل نوسان‌های دیده شده در ترکیب بیوتیت این گرانیت‌وئیدها نیز ممکن است به این دلیل باشد.

**جدول ۲** ترکیب شیمیایی بیوتیت از سنگ‌های گرانیتی زاهدان تجزیه شده به وسیله گمانهزن الکترونی

	LK5-1-	ZG2-3-	ZG2-5-	ZG2-6-	LK3-8-	LK6-13	P3-2-1	T3-5-	SSG2
SiO <sub>2</sub>	۳۸,۱۴	۳۷,۱۱	۳۶,۹۷	۳۷,۱۴	۳۷,۷۷	۳۸,۰۹	۳۷,۹۰	۳۸,۴۴	۳۶,۹۰
TiO <sub>2</sub>	۳,۵۹	۴,۱۷	۴,۳۲	۴,۰۰	۴,۱۱	۳,۵۰	۳,۴۲	۳,۰۰	۳,۶۰
Al <sub>2</sub> O <sub>3</sub>	۱۵,۱۸	۱۳,۵۰	۱۲,۳۴	۱۳,۵۹	۱۴,۹۵	۱۴,۱۶	۱۶,۸۹	۱۶,۱۸	۱۴,۳۷
FeO	۱۷,۹۶	۲۱,۹۱	۲۱,۷۹	۲۱,۸۶	۱۸,۴۷	۱۷,۵۱	۱۹,۸۱	۱۸,۳۹	۲۲,۱۵
MnO	۰,۲۶	۰,۴۹	۰,۳۹	۰,۴۳	۰,۴۲	۰,۵۸	۰,۵۱	۰,۳۰	۰,۴۵
MgO	۱۲,۴۱	۱۰,۲۰	۱۰,۱۸	۹,۸۹	۱۲,۰۵	۱۳,۳۶	۹,۵۹	۱۱,۰۰	۹,۴۷
Na <sub>2</sub> O	۰,۰۷	۰,۰۷	۰,۱۵	۰,۱۲	۰,۱۰	۰,۱۲	۰,۰۵	۰,۰۵	۰,۰۶
K <sub>2</sub> O	۹,۸۶	۹,۴۴	۹,۵۵	۹,۵۷	۹,۶۴	۹,۵۵	۹,۷۳	۹,۷۲	۹,۵۸
F	۰,۶۶	۰,۶۳	۰,۶۱	۰,۶۳	۰,۱	۰,۱۶	۰,۱۷	۰,۳۵	۰,۴۳
Cl	۰,۰۳	۰,۰۷	۰,۰۷	۰,۰۷	۰,۰۵	۰,۰۹	۰,۰۴	۰,۰۲	۰,۰۱
H <sub>2</sub> O	۳,۷۰	۳,۵۹	۳,۵۹	۳,۵۸	۴,۰۲	۳,۹۲	۳,۹۵	۳,۸۵	۳,۶۹
Total	۱۰۱,۵۸	۱۰۰,۸۹	۱۰۰,۶۵	۱۰۰,۵۹	۱۰۱,۵۶	۱۰۰,۹۵	۱۰۱,۹۷	۱۰۱,۱۳	۱۰۰,۵۲
تعداد کاتیون‌ها بر مبنای (O) محاسبه شده است.									
Si	۵,۶۹	۵,۷۰	۵,۶۹	۵,۷۲	۵,۶۱	۵,۶۹	۵,۶۳	۵,۷۳	۵,۶۷
Al <sup>IV</sup>	۲,۳۱	۲,۳۰	۲,۳۱	۲,۲۸	۲,۳۹	۲,۳۱	۲,۳۷	۲,۲۷	۲,۳۳
Al <sup>VI</sup>	۰,۳۵	۰,۱۴	۰,۱۱	۰,۱۹	۰,۲۳	۰,۱۸	۰,۵۹	۰,۵۷	۰,۲۸
Ti	۰,۴۰	۰,۴۸	۰,۵۰	۰,۴۶	۰,۴۶	۰,۳۹	۰,۳۸	۰,۳۳	۰,۴۲
Fe	۲,۲۴	۲,۸۱	۲,۸۰	۲,۸۲	۲,۲۹	۲,۱۹	۲,۴۶	۲,۲۹	۲,۸۵
Mn	۰,۰۳	۰,۰۶	۰,۰۵	۰,۰۶	۰,۰۵	۰,۰۷	۰,۰۶	۰,۰۴	۰,۰۶
Mg	۲,۷۶	۲,۳۳	۲,۳۳	۲,۲۷	۲,۶۷	۲,۹۷	۲,۱۲	۲,۴۴	۲,۱۷
Na	۰,۰۲	۰,۰۲	۰,۰۴	۰,۰۴	۰,۰۳	۰,۰۳	۰,۰۱	۰,۰۲	۰,۰۲
K	۱,۸۸	۱,۸۵	۱,۸۷	۱,۸۸	۱,۸۳	۱,۸۲	۱,۸۴	۱,۸۵	۱,۸۸
F	۰,۳۱	۰,۳۰	۰,۳۰	۰,۳۱	۰,۰۵	۰,۰۸	۰,۰۸	۰,۱۷	۰,۲۱
Cl	۰,۰۱	۰,۰۲	۰,۰۲	۰,۰۲	۰,۰۱	۰,۰۲	۰,۰۱	۰,۰۰	۰,۰۰
OH	۳,۶۸	۳,۶۸	۳,۶۹	۳,۶۷	۳,۹۴	۳,۹۰	۳,۹۱	۳,۸۳	۳,۷۹
X <sub>Sid</sub>	۰,۲۶	۰,۲۳	۰,۲۲	۰,۲۴	۰,۲۶	۰,۲۰	۰,۳۹	۰,۳۳	۰,۳۲
X <sub>An</sub>	۰,۲۶	۰,۳۷	۰,۳۸	۰,۳۷	۰,۲۷	۰,۲۹	۰,۲۳	۰,۲۵	۰,۲۵
Log(X <sub>F</sub> /X <sub>OH</sub> )	-۱,۰۷	-۱,۰۸	-۱,۱۰	-۱,۰۸	-۱,۹۲	-۱,۷۱	-۱,۷۰	-۱,۳۶	-۱,۲۶
Log(X <sub>Cl</sub> /X <sub>OH</sub> )	-۲,۶۹	-۲,۲۲	-۲,۳۱	-۲,۳۰	-۲,۴۹	-۲,۲۶	-۲,۵۸	-۲,۸۹	-۳,۲۱
Log(fH <sub>2</sub> O/fHF)	۴,۰۶	۳,۹۹	۴,۰۱	۳,۹۸	۴,۹۰	۴,۷۵	۴,۵۵	۴,۲۹	۴,۱۳
Log(fH <sub>2</sub> O/fHCl)	۱,۹۲	۱,۶۹	۱,۶۷	۱,۶۸	۱,۷۳	۱,۴۱	۱,۹۹	۲,۲۰	۲,۶۲
IV(F)	۱,۹۶	۱,۸۹	۱,۹۱	۱,۸۸	۲,۸۰	۲,۶۵	۲,۴۵	۲,۱۹	۲,۰۳
IV(Cl)	-۲,۲۴	-۳,۴۶	-۳,۴۸	-۳,۴۷	-۳,۴۲	-۳,۷۴	-۳,۱۶	-۲,۹۵	-۲,۵۲
IV(F/Cl)	۵,۱۹	۵,۳۵	۵,۳۸	۵,۳۴	۶,۲۲	۶,۳۸	۵,۶۱	۵,۱۳	۴,۵۵



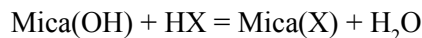
شکل ۳ مقدار  $X_{Mg}$  در مقابل آلومینیم با کوردیناسیون ۴ برای بیوتیت‌های سنگ‌های گرانیتی زاهدان.



شکل ۴ همبستگی‌های F و Cl با  $X_{\text{Ti}}$ ,  $X_{\text{Si}}$ ,  $\text{Mg}/(\text{Mg} + \text{Fe})$  بیوتیت موجود در سنگ‌های گرانیتی زاهدان.

#### بحث و بررسی

مبادله یون‌ها در جایگاه هیدروکسیل بین میکا و ماغمای سیلیکاته یا بین میکا و یک فاز آبی در شرایط تعادلی اجازه می‌دهد تا فوگاسیته هالوژن‌های شرکت کننده در این واکنش‌ها را به وسیله روابط زیر محاسبه کنیم [۱]:

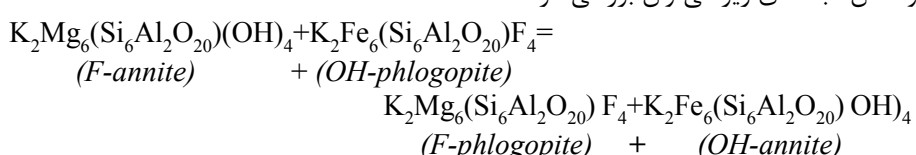


(X) نماد هالوژن‌های F یا Cl است. اگر از ثابت تعادل واکنش بالا لگاریتم بگیریم آنگاه:

$$\log K = \log(aX/aOH) + \log(aH_2O/aHX)$$

$a(OH)$  و  $a(X)$  به ترتیب فعالیت اجزاء هالوژن و هیدروکسیل موجود در سری محلول جامد میکاها و  $a(H_2O)$  و  $a(HX)$  به ترتیب فعالیت  $H_2O$  و HF با HCl موجود در ماغما یا آبگون متعادل با میکاهاست. با فرض یک مخلوط ایده آل از  $H_2O$  و HF یا HCl، فعالیت‌ها را می‌توان در فشار یک کیلو بار و در دمای تعادلی واکنش بالا به فوگاسیته تبدیل کرد [۱]. همچنین ثابت تعادل نیز برای میادله  $\text{OH} = \text{F}$  درفلوگوپیت، آنیت و سیدروفیلیت مصنوعی به طور تجربی تعیین شده است [۲۵]. گرما و اثر ترکیب شیمیایی روی ثابت تعادل از طریق این آزمایش‌ها قابل محاسبه است [۱].

اختلاط همزمان  $(\text{Mg}, \text{Fe}^{2+})$  و  $(\text{F}, \text{OH})$  را در یک محلول همگن بیوتیت، بر حسب واکنش میادله‌ای زیر می‌توان بررسی کرد:



$$\log K = \log K_{\text{ph}} - \log K_{\text{an}} = 1.107 \quad \text{بنابراین [۱].}$$

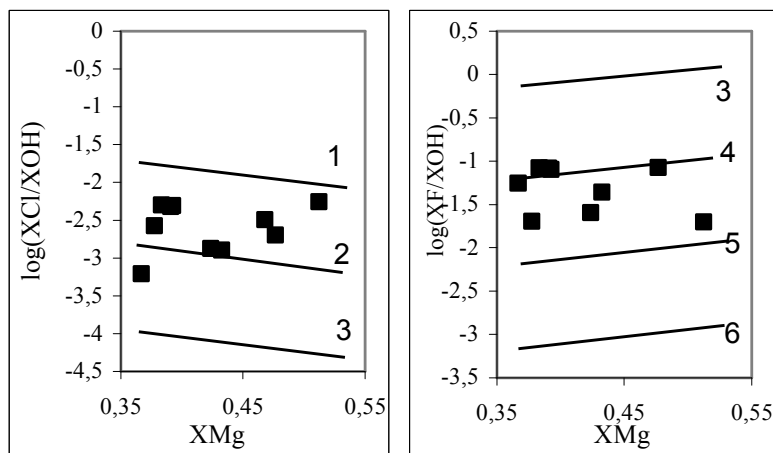
علاوه بر این، با استفاده از داده‌های تجربی و ترمودینامیکی تحت شرایط استاندارد، معادله زیر حاصل شده است:

$$\log K = 2100/T + 1.523 X_{\text{Mg}} + 0.416 X_{\text{an}} + 0.02 X_{\text{sid}} = \log(fH_2O/fHX) + \log(X_F/X_{\text{OH}})$$

بخش مولی سیدروفیلیت ( $X_{\text{sid}}$ ) و بخش مولی آنیت ( $X_{\text{an}}$ ) در بیوتیت از معادله زیر قابل محاسبه است [۲۶]:

$$\begin{aligned} X_{\text{sid}} &= (3-\text{Si}/\text{Al})/1.75 * (1-X_{\text{Mg}}) \\ X_{\text{an}} &= 1-(X_{\text{Mg}}+X_{\text{sid}}) \end{aligned}$$

با فرض دمای  $1000\text{ K}$  تشکیل بیوتیت‌های موجود در گرانیت زاهدان (گرمای ارزیابی شده برای بیوتیت‌ها در گرانیت [۲۰]) و استفاده از واکنش‌های معادلات بالا،  $\log(f\text{H}_2\text{O}/f\text{HF})$  و  $\log(f\text{H}_2\text{O}/f\text{HCl})$  برای آبغونهای متعادل با بیوتیت‌های سنگ‌های گرانیتی زاهدان محاسبه شدند. مقادیر محاسبه شده  $\log(f\text{H}_2\text{O}/f\text{HF})$  از  $۳/۹۸$  تا  $۴/۹۰$  و  $\log(f\text{H}_2\text{O}/f\text{HCl})$  از  $۱/۴۱$  تا  $۲/۶۳$  متغیر بوده است. در شکل ۵ (بخش مولی فلوگوپیت در بیوتیت) در مقابل  $\log(X_{\text{Cl}}/X_{\text{OH}})$  و  $\log(X_{\text{F}}/X_{\text{OH}})$   $\log(f\text{H}_2\text{O}/f\text{HF})$  و  $\log(f\text{H}_2\text{O}/f\text{HCl})$  در شکل فوق با خطوط هم‌مقدار مشخص شده است. شب خطوط نشان داده شده مقادیر  $\log(f\text{H}_2\text{O}/f\text{HF})$  را نشان می‌دهد که با روند حاصل از ترکیب بیوتیت کمی متفاوت است. بنابراین می‌توان نتیجه گرفت که علاوه بر ساختار شیمیایی بیوتیت، ترکیب شیمیایی آن نیز در جایگزینی  $\text{F}$  در ساختار بیوتیت نقش داشته است. همچنان مقادیر  $\log(f\text{H}_2\text{O}/f\text{HCl})$  به وسیله ترکیب شیمیایی بیوتیت با دو روند متفاوت قطع شده‌اند (شکل ۵). در واقع مقادیر کلر در بیوتیت سنگ‌های گرانیتی زاهدان روند کاملاً متفاوتی با مقادیر  $\log(f\text{H}_2\text{O}/f\text{HCl})$  (خطوط موازی هم ارز در شکل ۵) ارزیابی شده به وسیله محاسبات ترمودینامیکی دارد. در حالیکه اگر همه بیوتیت‌های گرانیت زاهدان در تعادل با یک آبغون و در یک دما تشکیل می‌شوند آنگاه روند مقادیر فلور و کلر نیز بایستی مشابه خطوط هم‌مقدار نشان دهنده مقادیر  $\log(f\text{H}_2\text{O}/f\text{HF})$  و  $\log(f\text{H}_2\text{O}/f\text{HCl})$  می‌بود. بنابراین توزیع داده‌ها در شکل ۵ نشان دهنده تغییر در ترکیب آبغون یا دما هنگام تشکیل است که معمولاً چنین تنوعی به ترکیب شیمیایی آبغون نسبت داده می‌شود. چون فوگاسیته‌های محاسبه شده در حرارت‌های مختلف در این مطالعه و در مطالعاتی که در [۱] انجام شده، نشان می‌دهد که اختلاف دما کمتر از حدود  $۲۰۰$  درجه سانتیگراد چنین تنوعاتی را ایجاد نخواهد کرد.



شکل ۵ تغییرات  $X_{\text{OH}}/X_{\text{Cl}}$  و  $X_{\text{OH}}/X_{\text{F}}$  با  $X_{\text{Mg}}/X_{\text{F}}$  بیوپتیت سنگ‌های گرانیتی زاهدان. خطوط هم‌مقدار مقادیر لگاریتم  $(f\text{H}_2\text{O}/f\text{HCl})$  و  $(f\text{H}_2\text{O}/f\text{HF})$  محاسبه شده را نمایش می‌دهند.

#### مقادیر پیوندگاه F و Cl یا $\text{IV(Cl)}$ و $\text{IV(F)}$

برای بیان درجه غنی‌شدگی نسبی F یا Cl در یک میکا به صورت کمّی و مستقل از دما و فشار، مقادیر پیوندگاه F و Cl یا  $\text{IV(F)}$  و  $\text{IV(Cl)}$  را تعریف کرده‌اند [۱].  $\text{IV(F)}$  و  $\text{IV(Cl)}$  مستقل از دما بوده و بنابراین برای مقایسه مقادیر هالوژن در میکاهای با ترکیب شیمیایی متفاوت بسیار مفیدند [۱].  $\text{IV(F)}$  و  $\text{IV(Cl)}$  به ترتیب از فرمول‌های زیر قابل محاسبه‌اند:

$$\begin{aligned}\text{IV(F)biotite} &= 1.52X_{\text{Mg}} + 0.42X_{\text{an}} + 0.20X_{\text{sid}} - \log(X_{\text{F}}/X_{\text{OH}}) \\ \text{IV(Cl)biotite} &= -5.01 - 1.93X_{\text{Mg}} - \log(X_{\text{Cl}}/X_{\text{OH}})\end{aligned}$$

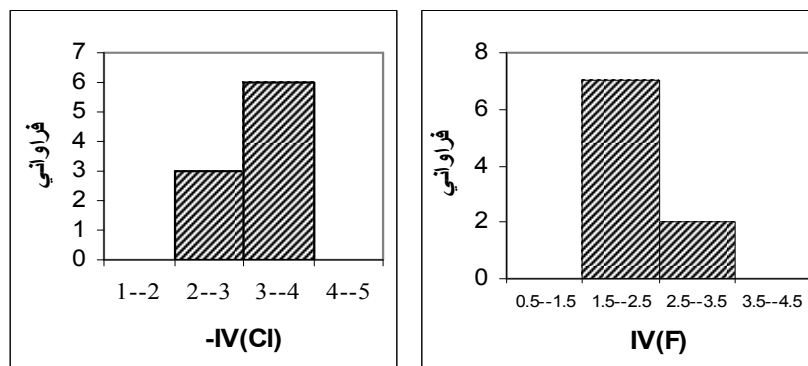
با توجه به معادلات پیشین می‌توان معادلات دیگری را نیز به شرح زیر نوشت که نسبت فوگاسیته آب به فوگاسیته هالوژن را در آبگون به ترکیب میکا ارتباط می‌دهد [۱].

$$\begin{aligned}\log(f\text{H}_2\text{O}/f\text{HF}) &= 2100/T + \text{IV(F)} \\ \log(f\text{H}_2\text{O}/f\text{HCl}) &= 5151/T + \text{IV(Cl)}\end{aligned}$$

برای بیوپتیت‌های سنگ‌های گرانیتی زاهدان در جدول ۲ و در شکل ۶ ارائه شده است. IV(F) برای بیوپتیت‌های مذکور مشابه بیوپتیت‌های ماگمایی و سیستم‌های پرفیری است (جدول ۳). اگر چه IV(F) در بیوپتیت‌های سنگ‌های گرانیتی زاهدان گستره وسیعتری را نشان می‌دهند و تعدادی از آنها IV(F) بالاتری دارند. IV(F) در بیوپتیت‌های سنگ‌های گرانیتی سنگان حداکثر به ۲/۲۵ می‌رسد [۲۴] در حالیکه این مقادیر در بیوپتیت موجود در سنگ‌های گرانیتی زاهدان به ۲۶۵ هم می‌رسند (جدول ۳). گرانیت‌های سنگان در شمال کانسار آهن سنگان خواف واقع شده و از نوع I و کالک-الکالن هستند. بیوپتیت در این گرانیت نسبتاً غنی از فلوئور است [۲۴]. IV(Cl) سنگ‌های گرانیتی زاهدان مشابه بیوپتیت‌های حاضر در سیستم‌های گرمایی و کانسارساز است (جدول ۳)، اگر چه آنها همپوشی‌هایی نیز با IV(Cl) بیوپتیت‌های ماگمایی نشان می‌دهند. در واقع IV(Cl) بیوپتیت سنگ‌های گرانیتی زاهدان نسبت به این مقادیر در بیوپتیت‌های ماگمایی بیشتر منفی هستند یعنی از کلر غنی‌ترند اما نسبت به بیوپتیت‌های حاضر در سیستم‌های پرفیری از کلر فقیرترند. بنابراین هر چه IV(F) کوچکتر باشد نشان دهنده درجه نسبی بالاتری از مقادیر فلوئورند و هر چه مقادیر IV(Cl) منفی تر باشد حاکی از غنی‌شدگی یک سیستم از کلر است. علاوه بر این، نسبت IV(F) به IV(Cl) نیز پارامتر دیگری برای بررسی مقدار کلر و فلوئور در بیوپتیت‌های است که از طریق معادله زیر قابل محاسبه است [۱]:

$$\begin{aligned}\log(f\text{HCl}/f\text{HF}) &= -3051/T + \text{IV(F)} - \text{IV(Cl)} = -3051/T + \text{IV(F/Cl)} \\ \text{IV(F/Cl)} &= 3.45 X_{\text{Mg}} + 0.41X_{\text{An}} + 0.20X_{\text{Sid}} - \log(X_{\text{F}}/X_{\text{Cl}}) + 5.01\end{aligned}$$

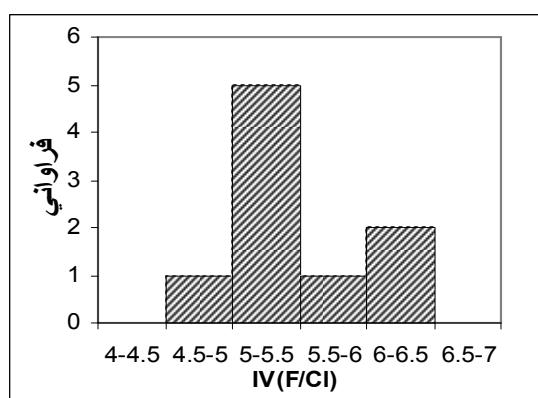
IV(F/Cl) محاسبه شده برای بیوپتیت‌های سنگ‌های گرانیتی زاهدان در جدول ۲ و شکل ۷ نشان داده شده است. همچنین شکل ۸ این مقادیر را در مقابل IV(F) نشان می‌دهد.



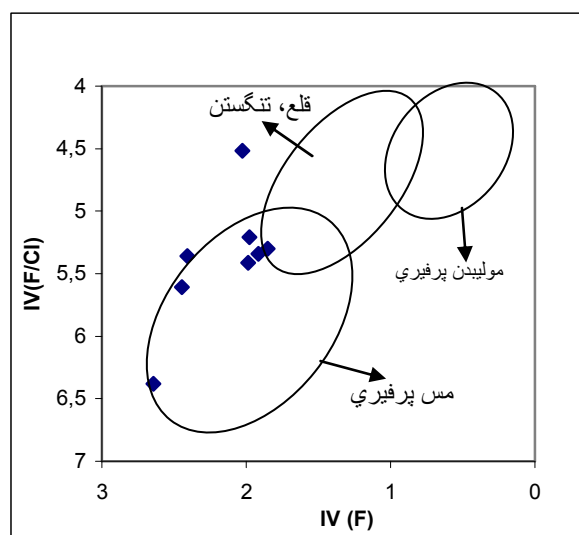
شکل ۶ نمودار مقادیر پیوندگاه فلوئور و منفی مقادیر پیوندگاه کلر برای بیوپتیت سنگ‌های گرانیتی زاهدان.

جدول ۳ مقایسه مقادیر محل تلاقي F, Cl و F/Cl در بیوپتیت موجود در گرانیت‌های زاهدان و سایر مناطق.

منطقه	IV(F)	IV منفی	IV(F/Cl)	مرجع
گرانیت سنگان ایران	۲,۲۵ تا ۱	۴,۷۵ تا ۴	۶,۵ تا ۵,۵	
بیوپتیت ماغمایی	۲,۵ تا ۱,۵	۴,۲۵ تا ۳	-	
مس پورفیری سنتا ایتا	۲,۲۵ تا ۱,۷۵	۴,۵ تا ۴	-	
دیگر مس‌های پورفیری	۲,۷۵ تا ۱,۵	۵ تا ۳,۵	۶,۷۵ تا ۵,۵	
کانسارهای قلع و تنگستان	۲ تا ۰,۵	۴,۲۵ تا ۳,۵	۶ تا ۴,۵	
کانسار مولیبدن پورفیری	۱ تا ۰,۲۵	۴,۵ تا ۳,۷۵	۵,۷۵ تا ۴	
سنگ‌های گرانیتی زاهدان	۱,۸۸ تا ۲,۶۵	۳,۷۴ تا ۲,۵۲	۶,۳۸ تا ۴,۵۲	مطالعه حاضر



شکل ۷ نمودار ستونی پیوندگاه F/Cl بیوتیت سنگ‌های گرانیتی زاهدان.



شکل ۸ مقادیر پیوندگاه F/Cl بیوتیت سنگ‌های گرانیتی زاهدان. گسترهای مخصوص شده در شکل برای کانسارهای مس پروفیری، مولبیدن پروفیری و قلع و تنگستن از [۱]. نمونه‌های سنگ‌های گرانیتی زاهدان در گستره مس پروفیری و قلع قرار می‌گیرند.

مقدار  $IV(F/Cl)$  مستقیماً به مقدار  $f(HCl)/f(HF)$  مرتبط است و چون محاسبه آن به دمای تشکیل و مقدار یون هیدروکسیل بیوتیت وابستگی ندارد، استفاده از آن برای تشخیص چگونگی تشکیل بیوتیت مؤثر است. هرچه  $IV(F/Cl)$  کمتر شد مقدار F/Cl بیشتر است.  $IV(F/Cl)$  محاسبه شده بیوتیت‌های سنگ‌های گرانیتی زاهدان با آنهایی از سیستم‌های کانسارساز همچون سیستم‌های مس پروفیری و قلع تا حدی همپوشی دارد (جدول ۳ و شکل ۸). چنانکه که گفته شد اگر جایگزینی هالوژن‌ها فقط به وسیله ساختار شیمیایی آن کنترل شود، باید همبستگی F در بیوتیت با  $X_{Mg}$ ,  $X_{Si}$ , Cl کاملاً خطی باشد در حالی که در بیوتیت گرانیت‌های زاهدان این همبستگی دارای نوساناتی است. بنابراین یک یا چند مورد از عوامل زیر ممکن است روی ترکیب این بیوتیت‌ها تأثیر گذاشته باشند. ترکیب ماگما یا آبگون متعادل با بیوتیت، حضور یا عدم حضور دیگر فازهای قبول کننده هالوژن در گرانیت مثل آپاتیت، ناهمگنی ماگمای تشکیل دهنده آنها، درصد مدار بیوتیت در گرانیت و حضور آبگون‌های مراحل آخر. مقدار فلوئور و کلر در بیوتیت موجود در سنگ‌های های

گرانیتی زاهدان نسبتاً کم است. هرچند توزیع فلوئور و کلر با تفربیق ماقما روند افزایشی را در مذاب سیلیکاته نشان می‌دهد اما در مراحل آخر که یک فاز آبی در حال تشکیل است توزیع آنها بین فاز آبی و مذاب سیلیکاته متفاوت است به طوری که فلوئور در مذاب سیلیکاته و کلر در فاز آبی غنی می‌شود [۱۶]. بنابراین یکی از دلایل ناچیز بودن مقدار فلوئور موجود در بیوپتیت موجود در گرانیت‌های زاهدان ممکن است بر اثر واکنش آنها با محلول‌های گرمایی باشد. مقدار کلر نیز در این بیوپتیت‌ها ناچیز است ولی در مقایسه با سایر سیستم‌های گرانیتی این مقدار حد واسط محسوب می‌شود. معمولاً محلول‌های ماقمایی در دمای بالا از کلر غنی هستند ولی محلول‌های در دمای پایین‌تر بخصوص پایین‌تر از نقطه بحرانی از کلر فقیرتر می‌شوند [۱۲]. پس محلول‌هایی که با بیوپتیت‌های زاهدان برخورد کرده‌اند احتمالاً در حدود دمای بحرانی بوده‌اند. اثبات گردش چنین محلول‌هایی در گرانیت‌های زاهدان در اکتشاف و پی‌جویی کانسارهای مزوترمال و اپیترمال از اهمیت زیادی برخوردار است.

#### برداشت

- ۱- مقدار فلوئور و کلر بیوپتیت سنگ‌های گرانیتی زاهدان بسیار ناچیز است.
- ۲- همبستگی F در بیوپتیت با Cl منفی، و با  $X_{Si}$  در جایگاه تترائدر و  $Mg/(Mg + Fe)$  مثبت است. نوسان‌هایی که در این همبستگی‌ها دیده می‌شود نشان می‌دهد که علاوه بر ساختمن شیمیایی بیوپتیت عواملی دیگری نیز در جایگزینی کلر و فلوئور در بیوپتیت نقش داشته‌اند.
- ۳- مقادیر محاسبه شده  $\log(fH_2O/fHF)$  آبگون در تعادل با ترکیب بیوپتیت‌های مطالعه نشان می‌دهد که علاوه بر ساختار بلوری، ترکیب شیمیایی این آبگون نیز در جایگزینی فلوئور نقش داشته است.
- ۴- مقادیر محاسبه شده  $\log(fH_2O/fHCl)$  آبگون در تعادل با ترکیب بیوپتیت گرانیت‌های زاهدان نشان می‌دهد که ترکیب شیمیایی این آبگون نقش اصلی را در جایگزینی کلر داشته است.
- ۵- برای بیوپتیت موجود در سنگ‌های گرانیتی زاهدان مشابه IV(F) برای بیوپتیت ماقمایی و کانسارهای مس پرفیری است و IV(Cl) آن مشابه سیستم‌های گرمایی است.

#### تشکر و قدردانی

تجزیه بیوپتیت به وسیله آبر ریزگمانه در دانشگاه یاماگاتای ژاپن انجام گرفته است که بدین وسیله از پروفسور کازوو ناکاشیما برای همکاری در انجام تجزیه‌ها قدردانی می‌شود. همچنین از معاونت پژوهشی دانشگاه زاهدان که بخشی از هزینه‌های این مقاله را تأمین کرده قدردانی می‌شود. از داوران محترم مجله نیز که نکات دقیق و مهمی را جهت اصلاح این مقاله تذکر داده‌اند سپاسگزاری می‌شود.

## مراجع

- [1] Munoz J. L., "F-OH and Cl-OH exchange in mica with application to hydrothermal ore deposits", Rev. Mineral. 13 (1984) 469-493.
- [2] Munoz J. L., Ludington S. D., "Fluoride-hydroxyl exchange in biotite", Am. J. Sci. 274 (1974) 396-413.
- [3] Li Z., Tainosh Y., Shiraishi K., "Owada, M., Chemical characteristics of fluorine-bearing biotite of early Paleozoic plutonic rocks from the Sor Rondane Mountains", East Antarctica. Geochem. Journal 37 (2003) 145-161.
- [4] Icenhower J. P., London D., "Partitioning of fluorine and chlorine between biotite and granitic melt: experimental calibration at 200 Mpa H<sub>2</sub>O", Contrib. Mineral. Petrol. 127 (1997) 17-29.
- [5] Manning D. A. C., "The effect of fluorine on liquidus phase relationships in the system Qtz-Ab-Or with Excess Water at 1 kb", Contrib. Mineral. Petrol. 76 (1981) 206-215.
- [6] Markel G., Piazolo S., "Halogen-bearing minerals in syenites and high-grade marbles of Dronning Maud Land, Antarctica: monitors of fluid compositional changes during late-magmatic fluid rock interaction processes", Contrib. Mineral. Petrol. 132 (1998) 246-268.
- [7] Middelaar W. T., Keith J. D., "Mica chemistry as an indicator of oxygen and halogen fugacities in the CanTung and other W-related granitoids in the North American Cordillera", Geol. Soc. of Ameri. Speci. (1990) 246 p.
- [8] Sallet R., "Fluorine as a tool in the petrogenesis of quartz-bearing magmatic associations: applications of an improved F-OH biotite-apatite thermometer grid", Lithos 50 (2000) 241-253.
- [9] Seifert W., Kampf H., Wasternack J., "Compositional variation in apatite, phlogopite and other accessory minerals of the ultramafic Delitzsch complex, Germany: implication for cooling history of carbonatites", Lithos 53 (2000) 81-100.
- [10] Speer A., "Micas in igneous rocks", Rev. Mineral. 13 (1984) 299-356.
- [11] Stormer J. C., Carmichael I. S. E., "Fluorine-hydroxyl exchange in apatite and biotite: A potential igneous geothermometer", Contr. Mineral. Petrol. 31 (1971) 121-131.
- [12] Webster J. D., "Partitioning of Cl between magmatic hydrothermal fluids and highly evolved granitic mamas", Geol. Soc. of Ameri. Speci. (1990) 246 p.
- [13] Wones D. R., Eugester H. P., "Stability of biotite: experiment, theory and application". Amer. Mineral. 50 (1965) 1228-1272.
- [14] Zaw U. K., Clark A. H., "Fluoride-Hydroxyl ratios of skarns silicates, Cantung E-zone scheelite orebody", Tungsten, Northwest Territories. Canadian Mineral. 16 (1978) 207-221.

- [15] Zhu C., Sverjensky D. A., "Partitioning of F-Cl-OH between minerals and hydrothermal fluids", *Geochim. Cosmochim. Acta* 55 (1991) 1837-1858.
- [16] Zhu, C., Sverjensky, D. A., "Partitioning of F-Cl-OH between biotite and apatite". *Geochim. Cosmochim. Acta*, 56 (1992) 3435-3467.
- [17] Camp V.E., Griffis R. J., Character, "genesis and tectonic setting of igneous rocks in the Sistan suture zone, eastern Iran", *Lithos* 15 (1982) 221-239.
- [۱۸] صاحب زاده ب., "پتروگرافی و پترولوژی توده آذرین نفوذی زاهدان-لوچان", رساله کارشناسی ارشد، دانشگاه آزاد اسلامی، واحد تهران شمال (۱۳۷۵).
- [۱۹] ولیزاده م. و، صادقیان م., "ژئوشیمی و پترولوژی گرانیت‌های زاهدان", مجموعه مقالات ششمین همایش انجمن زمین‌شناسی ایران، دانشگاه کرمان (۱۳۸۱) ۴۹۷ تا ۵۰۱.
- [۲۰] بومری م., لشکری‌پور غ., گرگیج م. ن., "ژئوشیمی و پتروگرافی سنگ‌های گرانیتی زاهدان", طرح پژوهشی، دانشگاه سیستان و بلوچستان (۱۳۸۳).
- [۲۱] بومری م., "کانی‌شناسی سنگ‌های گرانیتی زاهدان", مجموعه مقالات دهمین همایش انجمن بلور‌شناسی و کانی‌شناسی ایران، دانشگاه سیستان و بلوچستان (۱۳۸۱) ۶۴ تا ۶۸.
- [22] Streckeisen A. L., "IUGS. Sub Commission of the systematics of igneous rocks", *Neues Jahrb. Min. Abh.* 143 (1982) 1-14.
- [23] Deer W. A., Howie R. A., Zussman J., "An Introduction to the Rock-forming minerals", Longman (1991) p. 528.
- [24] Boomeri M., "Petrography and geochemistry of the Sangan iron skarn deposit and related igneous rocks", northeastern Iran. Unpublished Ph.D. thesis, Akita University, Japan, (1998) p. 226.
- [25] Munoz J. L., Ludington S. D., "Fluoride-hydroxyl exchange in synthetic muscovite and its application to muscovite-biotite assemblages", *Amer. Mineral.* 62 (1977) 304-308.
- [26] Gunow A. J., Ludington S., Munoz J. L., "Fluorine in micas from the Henderson molybdenite deposits", *Colorado. Econ. Geol.* 75 (1980) 1127-1137.